

真空灭弧室电场及开断特性 仿真分析报告

KYN28-12/1250A 型真空断路器 • Maxwell 多物理场仿真

报告编号: VI-KYN28-2026-001

分析类型: 静电场 + 瞬态电磁场

分析软件: ANSYS Maxwell 2024 R1

编制单位: 电磁仿真分析工作组

报告日期: 2026 年 01 月 19 日

摘要: 本报告对 KYN28-12/1250A 型真空断路器的真空灭弧室进行多物理场仿真分析。通过静电场求解器评估断口绝缘性能, 通过瞬态电磁场求解器分析开断过程动态特性。仿真结果表明, 触头间隙最大电场强度约 1.25 kV/mm, 远低于真空击穿阈值, 安全系数大于 16, 满足 12kV 等级绝缘要求。

1 概述

1.1 研究背景

- 核心关注：电场分布、触头电流密度、开断过程电弧与介质恢复
- 关键风险：触头边缘场强集中、绝缘薄弱区、开断重燃风险
- 方法定位：有限元仿真用于设计阶段的风险识别与结构优化

评估维度	指标	目标/标准	本报告输出
绝缘性能	最大场强	真空击穿阈值 20 30 kV/ mm	场强云图 + 关键点统计
导电性能	电流密度	避免边缘集中	电流密度云图 + 统计表
开断能力	燃弧时间	≤ 半个工频周期	电流/电压/恢复波形
结构可靠性	安全系数	> 10	安全系数表

表 1 评估指标与输出形式

1.2 研究目的

- 电场分布：触头间隙、屏蔽罩与陶瓷外壳的场强分布与峰值位置
- 电流密度：合闸接触区电流集中与热风险评估
- 开断特性：电流过零、燃弧时间与介质恢复趋势
- 设计优化：提供几何与材料优化方向

图 1：仿真流程与输出图谱

（待插入：流程图，包含几何建模 → 网格 → 边界 → 求解 → 结果图谱）

图 1 仿真流程与输出图谱

2 真空灭弧室结构

2.1 基本结构

真空灭弧室的典型结构包括以下主要部件：

- 动触头：与操作机构连接，沿轴向移动实现分合闸动作
- 静触头：固定在灭弧室上端，通过导电杆与外部回路连接
- 主屏蔽罩：包围触头区域，防止金属蒸气沉积在绝缘外壳上
- 陶瓷外壳：提供真空密封和对地绝缘
- 波纹管：补偿动触头的轴向运动，保持真空密封

图 2(a)：结构剖面示意图
(待插入：标注动/静触头、屏蔽罩、陶瓷壳、波纹管)

图 2(b)：关键尺寸标注图
(待插入：几何尺寸与参考面)

图 2 真空灭弧室结构与关键尺寸

2.2 几何参数

参数名称	符号	设计值	备注说明
触头直径	D_c	50 mm	CuCr25 合金触头
触头开距	d_{open}	10 mm	分闸后间隙
触头超程	d_{over}	3 mm	合闸压缩量
触头曲率半径	R_c	25 mm	球形端面
屏蔽罩内径	D_s	80 mm	主屏蔽罩
陶瓷外壳内径	D_{shell}	100 mm	95% Al_2O_3
真空度	P	$< 10^{-4}$ Pa	高真空

表 2 真空灭弧室主要几何参数

2.3 材料属性

部件	材料	相对介电常数	电导率 (S/m)	备注
动/静触头	CuCr25 合金	—	2.9×10^7	导体
屏蔽罩	不锈钢 304	—	1.4×10^6	导体
陶瓷外壳	95% Al_2O_3	9.4	绝缘体	介质
真空间隙	Vacuum	1.0	0	理想绝缘
波纹管	316L 不锈钢	—	1.3×10^6	导体

表 3 材料电磁属性参数

材料要点：CuCr25 兼具导电性与抗烧蚀能力，适用于 12kV 等级触头；屏蔽罩与波纹管材料需兼顾导电与耐热。

3 静电场分析

3.1 边界条件设置

边界类型	应用对象	电位设置	备注
电压激励	动触头	+9.8 kV	12kV 峰值
接地边界	静触头	0 V	参考电位
浮地边界	屏蔽罩	自由电位	电容耦合
自然边界	外边界	Neumann	场线垂直

表 4 静电场边界条件（分闸状态）

3.2 电场分布结果



图 3 静电场仿真结果

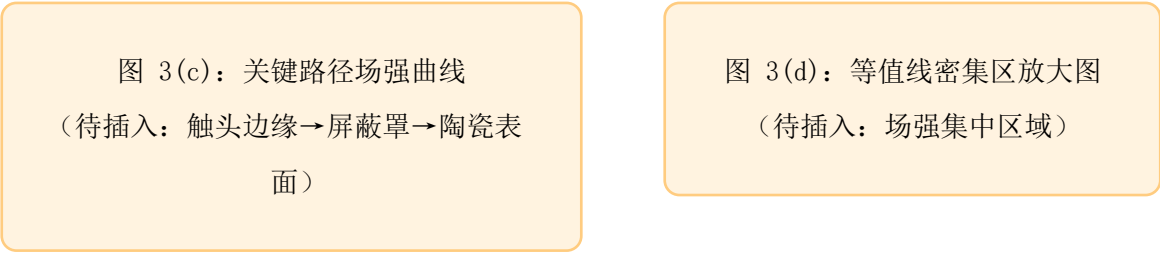


图 4 电场分布细节与路径曲线

3.3 关键位置电场强度

位置	电场强度	击穿阈值	安全系数	评价
触头边缘	1.25 kV/mm	20 30 kV/mm	16 24	合格
触头中心	0.98 kV/mm	20 30 kV/mm	20 31	合格
屏蔽罩附近	0.35 kV/mm	20 30 kV/mm	57 86	合格
陶瓷表面	0.15 kV/mm	10 15 kV/mm	67 100	合格

表 5 关键位置电场强度统计

关键发现：触头边缘为最大场强位置，安全系数大于 16；屏蔽罩有效均化场强，陶瓷表面场强显著低于击穿阈值。

4 触头电流密度分析

4.1 合闸状态电流分布

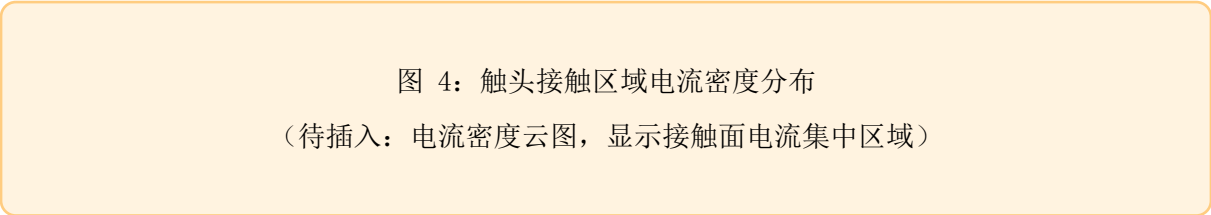


图 5 触头接触区域电流密度分布

特征项	结果	单位	说明
最大电流密度	3.5×10^6	A/m²	触头边缘附近
平均电流密度	—	A/m²	待由结果统计
接触电阻	50 80	μ Ω	合闸状态
发热功率	102	W	I^2R 估算

表 6 电流密度与接触特性汇总

4.2 接触电阻与发热

参数	数值	单位	备注
额定电流	1250	A	RMS 值
接触电阻	65	μ Ω	测量值
接触压力	800	N	弹簧力
发热功率	102	W	I^2R
温升估算	15 25	K	稳态

表 7 触头接触电阻及发热功率

5 开断过程瞬态分析

5.1 开断物理过程

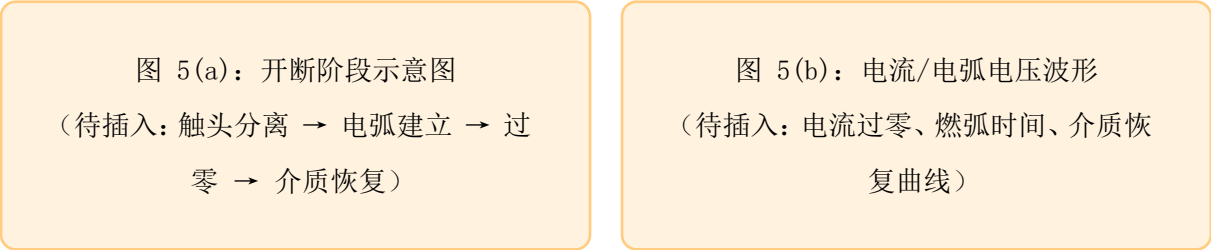


图 6 开断过程示意与关键波形

阶段	主要现象	典型时间	关注点
触头分离	金属桥断裂	< 1 ms	速度与开距
电弧建立	真空电弧形成	1 2 ms	电弧稳定性
电弧燃烧	电流通过等离子体	3 8 ms	烧蚀与温升
电流过零	电弧熄灭	工频过零	重燃风险
介质恢复	电场恢复	< 1 ms	恢复速度

表 8 开断过程阶段与关注点

5.2 电弧特性参数

参数	典型值	说明
电弧电压	20 50 V	与电流大小相关
电弧功率	25 62.5 kW	$P = U \times I$
燃弧时间	5 10 ms	半个工频周期
触头烧蚀量	< 0.1 mg/次	CuCr25 材料
介质恢复速度	> 1 kV/μs	电流过零后

表 9 真空电弧特性参数（1250A 开断）

5.3 开断能力评估

性能指标	设计值	标准要求	判定
额定开断电流	20 kA	≥ 20 kA	✓ 合格
短路开断次数	30 次	≥ 30 次	✓ 合格
机械寿命	10000 次	≥ 10000 次	✓ 合格
触头开距	10 mm	≥ 8 mm	✓ 合格
分闸速度	1.2 m/s	≥ 1.0 m/s	✓ 合格

表 10 开断能力评估汇总

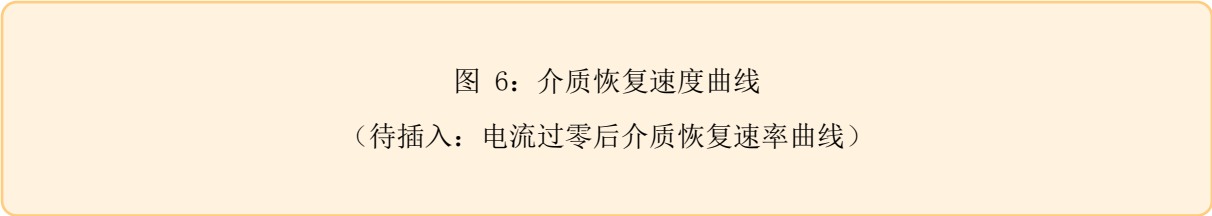


图 7 介质恢复特性

6 结论与建议

6.1 主要结论

指标项	仿真结果	标准/目标	判定	备注
最大场强	1.25 kV/mm	20~30 kV/mm	合格	触头边缘
接触电阻	65 $\mu\Omega$	$\leq 80 \mu\Omega$	合格	合闸状态
燃弧时间	5~10 ms	\leq 半周期	合格	1250A
分闸速度	1.2 m/s	≥ 1.0 m/s	合格	机构要求
短路开断次数	30 次	≥ 30 次	合格	标准要求

表 11 关键性能指标总览

总体评价：KYN28-12/1250A 型真空断路器灭弧室设计合理，绝缘性能和开断能力均满足标准要求，可用于工程应用。

6.2 优化建议

- 电场优化：采用椭球形触头端面，可进一步降低边缘场强集中
- 触头材料：对于更高开断要求，可考虑 CuCr50 合金
- 屏蔽罩设计：优化屏蔽罩形状，提高电场分布均匀性
- 分闸速度：提高至 1.5 m/s 可缩短燃弧时间，降低触头烧蚀

6.3 后续工作

- 制作样机进行型式试验验证
- 开展短路开断试验，对比仿真与试验结果
- 进行高温/低温环境适应性测试
- 根据试验结果优化设计参数

仿真软件：ANSYS Maxwell 2024 R1
求解器：Electrostatic / Transient
参考标准：GB 1984, IEC 62271-100

编制：电磁仿真分析工作组
版本：v2.0
日期：2026 年 01 月 19 日